

# CLAUDICACIÓN EN PEDIATRÍA

Dra. Alexis Strickler Prouvay

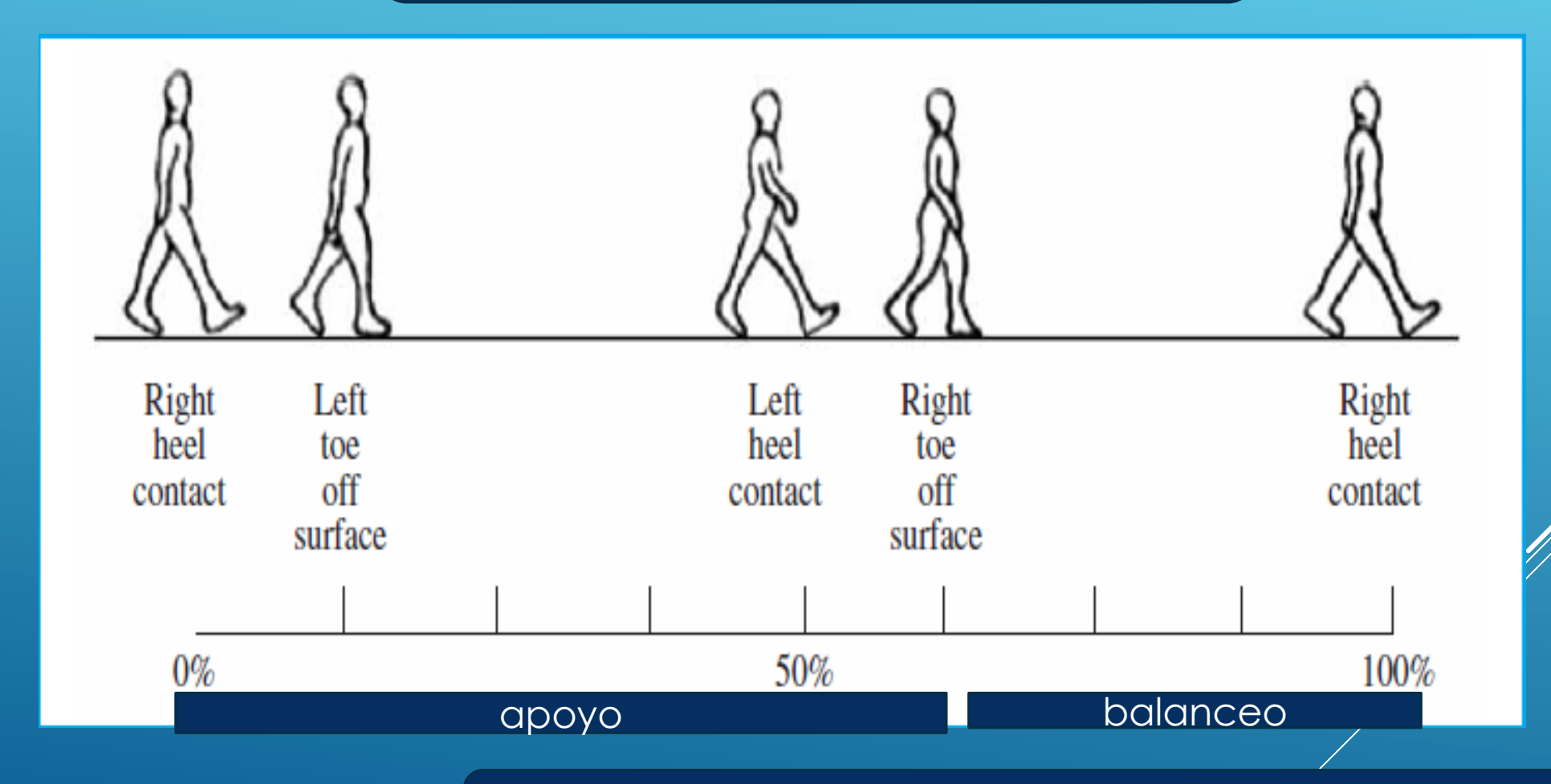
Puerto Montt

Julio 2019





# Fases de la marcha normal



Protocolos diagnóstico y terapéutico de urgencias pediátricas SEUP-AEP 2014 Roser Garrido

# ELEMENTOS MARCHA NORMAL

Desarrollo músculo-esquelético zona lumbar.

Pelvis

Desarrollo neurológico normal coordinación equilibrio

Dolor
Debilidad muscular
Actividad muscular anormal
Lesiones articulares
Diferencias longitud

1.5-3.6/1000 niños









# Marcha antiálgica

- Más frecuente. Generalmente causada por dolor
- Se caracteriza por una disminución del tiempo de apoyo del miembro afectado, para minimizar la carga de peso. Originada por cualquier condición dolorosa del miembro inferior (y también de la columna vertebral, como tumor o discitis)

# TIPOS DE COJERA

# Marcha de Trendelemburg.

- Motivada por debilidad de musculatura abductora (glúteo medio), que dificulta el soporte del peso corporal en el lado débil.
- Puede observarse en la luxación congénita de cadera y en la coxa vara, como secuela de una artritis séptica o una enfermedad de Perthes (por acortamiento del cuello femoral y sobreelevación del trocánter mayor).
- Supone la imposibilidad para mantener la pelvis en posición neutra, observándose el descenso de la nalga del lado cuyo pie se eleva del suelo, cuando el paciente mantiene el equilibrio.

#### Marcha de Pato

- Se ve en la displasia del desarrollo bilateral de la cadera o en algunas enfermedades neurológicas.
- Marcha oscilante con movimientos laterales de tronco, exagerados y con pies separados

## Marcha en circunducción

- Extensión de la rodilla al final de la fase de apoyo; por lo que, el miembro afectado realiza un movimiento de circunducción o separación durante la fase de balanceo para evitar el choque de los dedos con el suelo.
- Se observa en cuadros de enfermedades neuromusculares asociados a rigidez en rodilla y/o tobillo.

# TIPOS DE COJERA

# Marcha en estepaje

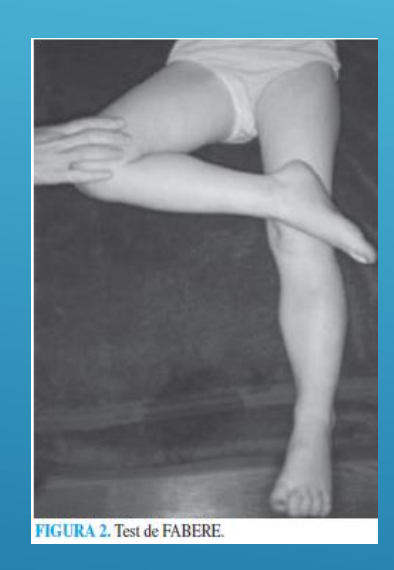
- Dificultad para la dorsiflexión del pie.
- Consiste en un aumento de la flexión de la cadera y rodilla durante la fase de balanceo para permitir a los dedos el despegue del suelo.
- Generalmente, asociada con neuropatías del nervio peroneo.

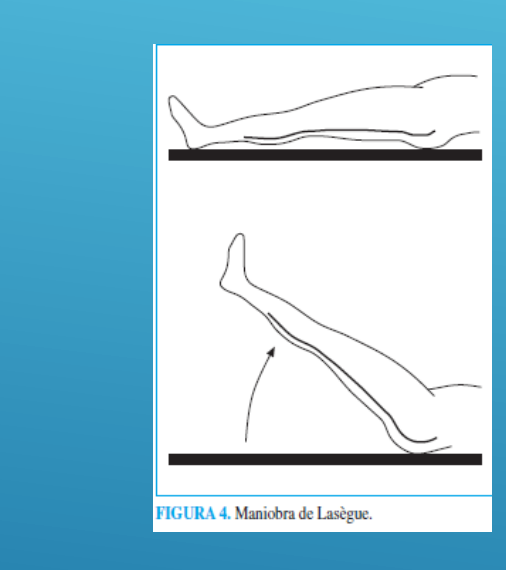
# Marcha en equino

- ► El niño camina de puntillas.
- Puede aparecer como hábito (idiopático, existiendo un equinismo bilateral) o ser debida a: contracturas musculares, espasticidad, discrepancia de longitud de miembros inferiores o, simplemente a una herida en el talón.

# TIPOS DE COJERA

# Protocolos diagnóstico y terapéutico de urgencias pediátricas SEUP-AEP 2014 Roser Garrido







Articulación sacroilíaca

Neuropatía Iumbar Sinovitis vs artritis séptica cadera.

Movimiento rotatorio 30

# Cojera en pediatría

#### Diagnóstico diferencial

#### 1. Traumatismos

- Contusión ósea o muscular
- · Fracturas, subluxaciones, esguinces
- Síndromes por exceso de uso: tendinitis
- Inyecciones intramusculares
- Malos tratos

#### 2. Infecciones

- · Osteomielitis, artritis séptica, celulitis
- Miositis aguda
- Sacroileítis, discitis
- · Enfermedad de Lyme
- · Infección retroperitoneal o pélvica

#### 3. Tóxicos

- · Hipervitaminosis A
- Acrodinia

#### 4. Inflamatorias/inmunológicas

- · Sinovitis transitoria de cadera
- Artritis postinfecciosa: artritis reactiva, fiebre reumática
- Vasculitis: Schönlein-Henoch, enfermedad del suero
- Artritis crónica juvenil
- Lupus eritematoso sistémico
- Dermatomiositis, polimiositis
- · Enfermedad inflamatoria intestinal
- Enfermedad de Kawasaki

#### 5. Endocrino-metabólicas

- · Anemia de células falciformes
- Raquitismo por déficit de vitamina D
- Osteodistrofia renal

- Hipotiroidismo
- Hiperlipidemias

#### 6. Tumores

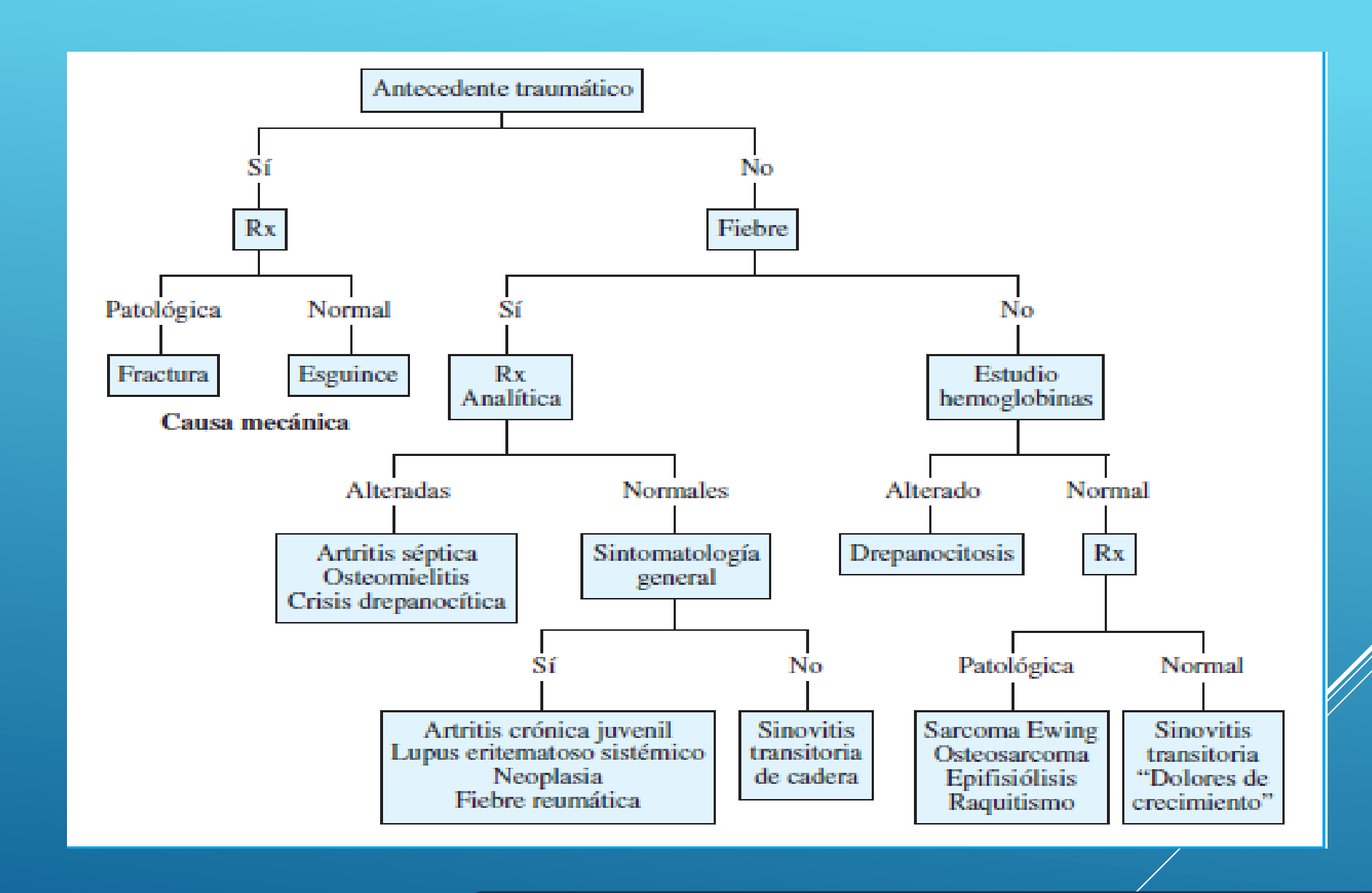
- · Leucemia, linfoma
- Tumores óseos malignos: sarcoma osteogénico, Ewing
- Tumores óseos benignos: osteoma osteoide, osteoblastoma

#### 7. Ortopédicas locales

- Legg-Calvé-Perthes (cabeza femoral)
- Likfert y Arkin (núcleo distal de tibia)
- Mandl (trocánter mayor)
- Osgood-Schlatter (tuberosidad tibial)
- Pierson (sínfisis púbica)
- Sever (epífisis calcánea)
- Van Neck (sincondrosis isquiopubiana)
- Osteocondritis disecante (cóndilo femoral)
- Condromalacia rotuliana

#### 8. Etiología múltiple

- "Dolores de crecimiento"
- Distrofia neuromuscular refleja
- Luxación congénita de cadera
- · Anisomelia (asimetría de extremidades inferiores)
- Epifisiolisis de cabeza femoral
- Necrosis avascular (osteocondrosis):
  - Blount (metáfisis tibial)
  - -Caffey (espinas intercondíleas)
  - Díaz (astrágalo)
  - -Freiberg (II metatarsiano)
  - -Iselin (V metatarsiano)
  - -Koehler (escafoides tarsiano)



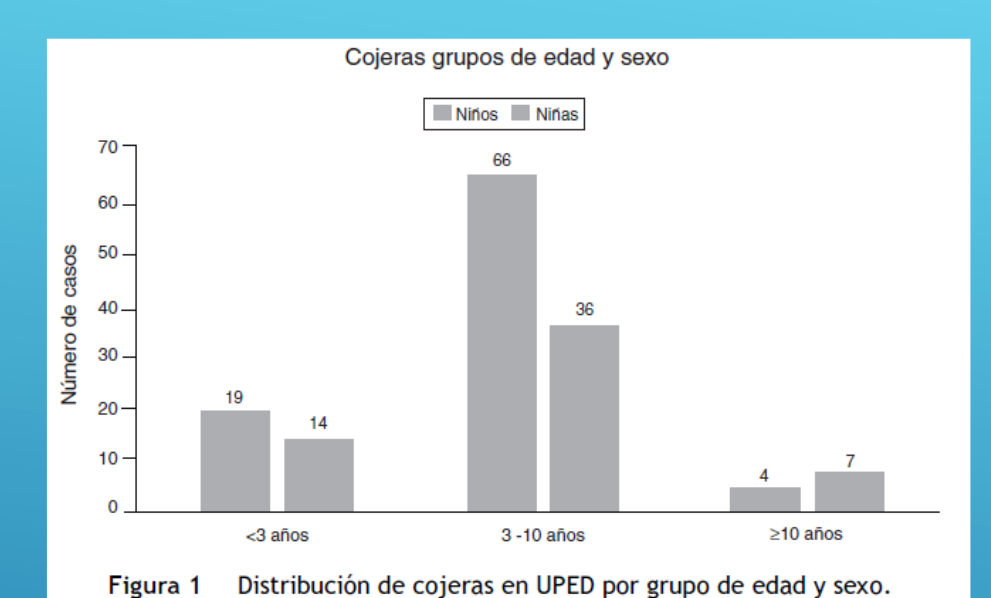


Tabla 1 Variables clínicas de los niños con cojera en UPED

Variables clínicas Número (n/146) Porcentaje

Variables clínicas	Número (n/146)	Porcentaje
Fiebre(> 38°C) y/o síntomas sistémicos	18	12,3
No apoyo	37	25,3
Localiza dolor	91	62,3
Signos inflamatorios externos	3	2
Infección respiratoria 15 días previos	62	42

o: Lázaro Carreño MI, et al. Cojera no traumática en Urgencias de Pediatría. Epidemiología, Rev Esp Cir Ortop Traumatol. 2017. https://doi.org/10.1016/j.recot.2017.10.004

Tabla 2 Exploraciones UPED a los niños con coje		solicitadas en
Exploraciones complementarias	Número (n/146)	Porcentaje
Ecografía	65	44,5
Ecografía y	26	17,8
radiografía		
Radiografía	14	9,5
Análisis	1	0,6
Análisis y ecografía	2	1,3
Análisis y radiografía	1	0,6
Análisis, ecografía y	6	4,1
radiografía		
Ninguna prueba	31	21,2
Total	146	100

Tabla 3	Características	de los pacientes con cambio de diagnóstico		
Paciente	Edad(años)	Ecografía o radiografía en UPED	Diagnóstico inicial	Diagnóstico a los 6 meses
1	6	Derrame articular en cadera	STC	Enfermedad de Perthes
2	2	No prueba de imagen	STC	Fractura oculta tibia
3	10	Derrame articular en cadera	STC	Osteoma osteoide acetabular
4	2	No prueba de imagen	Dolor osteomuscular	STC
5	4	Derrame articular en cadera	Artritis séptica	STC
6	9	Derrame articular en cadera	Artritis séptica	Fiebre reumática
7	1	Derrame articular en rodilla	Artritis séptica	AIJ
8	3	Ecografía de cadera normal	Osteomielitis	Artritis vírica por VEB
9	10	Ecografía y radiografía de cadera normales	Artritis séptica	STC

# TABLE 1. Age-specific Diagnosis in Patients Presenting With a Limp

TODDLER (<3 YEARS)	CHILD (3-10 YEARS)	ADOLESCENT (>10 YEARS)
Developmental dysplasia of the hip	Legg-Calvé-Perthes disease	Slipped capital femoral epiphysis
Congenital limb deficiencies	Stress fractures	Legg-Calvé-Perthes disease
Neuromuscular abnormalities	Tumors	Juvenile idiopathic arthritis
Painful gait	Osteochondrosis	Overuse syndromes
Toddler fracture	Kohler disease	Osteochondrosis
Septic arthritis	Osteochondritis dissecans	Tumors
Reactive arthritis	Osgood-Schlatter disease	Osteochondritis dissecans
Transient synovitis	Transient synovitis	Stress fractures
Osteomyelitis	Osteomyelitis	Tarsal coalition
Foreign object in knee or foot	Leg-length discrepancy	Discoid meniscus

# TABLE 2. Orthopedic Emergencies and Urgencies

EMERGENCIES	URGENCIES
Septic arthritis	Open fractures
Neurovascular compromise	Stable slipped capital fem epiphysis
Compartment syndrome	
Unstable slipped capital femoral epiphysis	

### TABLE 4. Kocher Criteria for Septic Arthritis of the Hip (8)

Temperature >101.3°F (385°C)

White blood cell count > 12,000/ $\mu$ L (12×10<sup>9</sup>/L)

Erythrocyte sedimentation rate >40 mm/h

Inability to ambulate

\*C-reactive protein >25 mg/L (23.81 nmol/L)

\*C-reactive protein added by Caird et al; not part of the original Koche. criteria.



figure 1. Anteroposterior radiograph of a 14-month-old boy who topped walking after a fall from a sliding board reveals a nondisplaced piral fracture of the tible, also known as a "toddler fracture." He was reated in a cast for 4 weeks.



igure 2. Anteroposterior radiograph of the foot reveals a retained ewing needle that the mother had tried to remove 2 days ago. The preign body was removed in the operating room.

Seminars in Musculoskeletal Radiology Vol. 17 No. 3/2013 Kara G Gill.



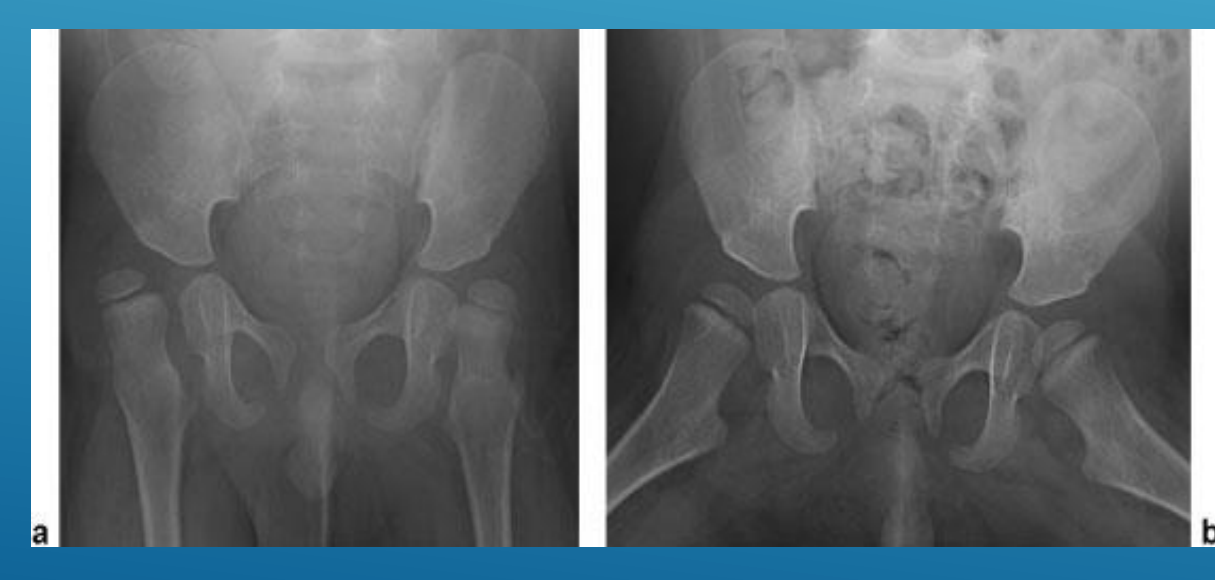
Anteroposterior radiograph of the pelvis in a teenage girl with left hip pain demonstrates widening of the left anterior superior iliac spine apophysis compared with the right, consistent with avulsion fracture (arrows).



Edad 3 años Displasia caderas



AIJ



Seminars in Musculoskeletal Radiology Vol. 17 No. 3/2013 Kara G Gill

Displasia caderas y PC

o: Lázaro Carreño MI, et al. Cojera no traumática en Urgencias de Pediatría. Epidemiología, Rev Esp Cir Ortop Traumatol. 2017. https://doi.org/10.1016/j.recot.2017.10.004

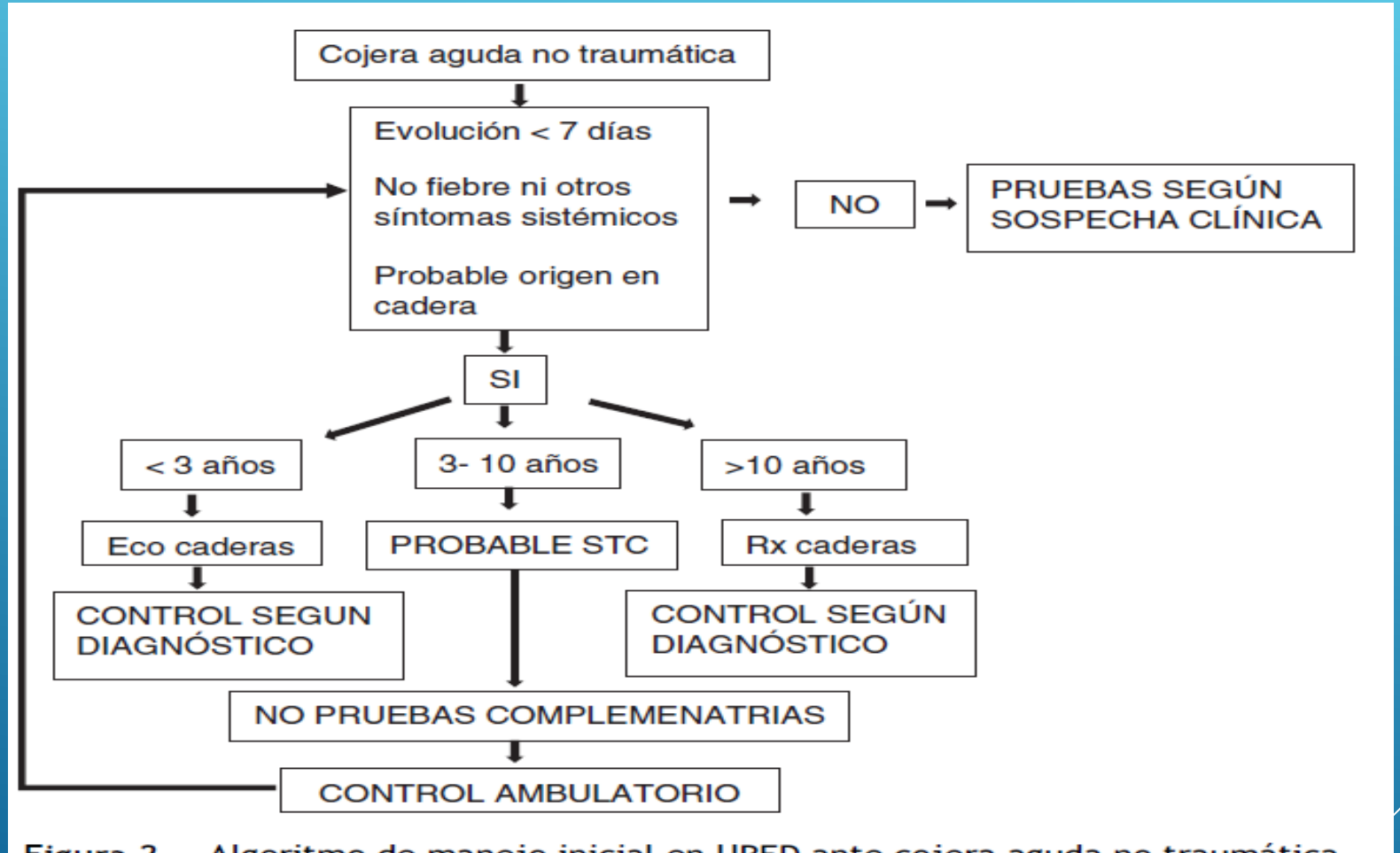
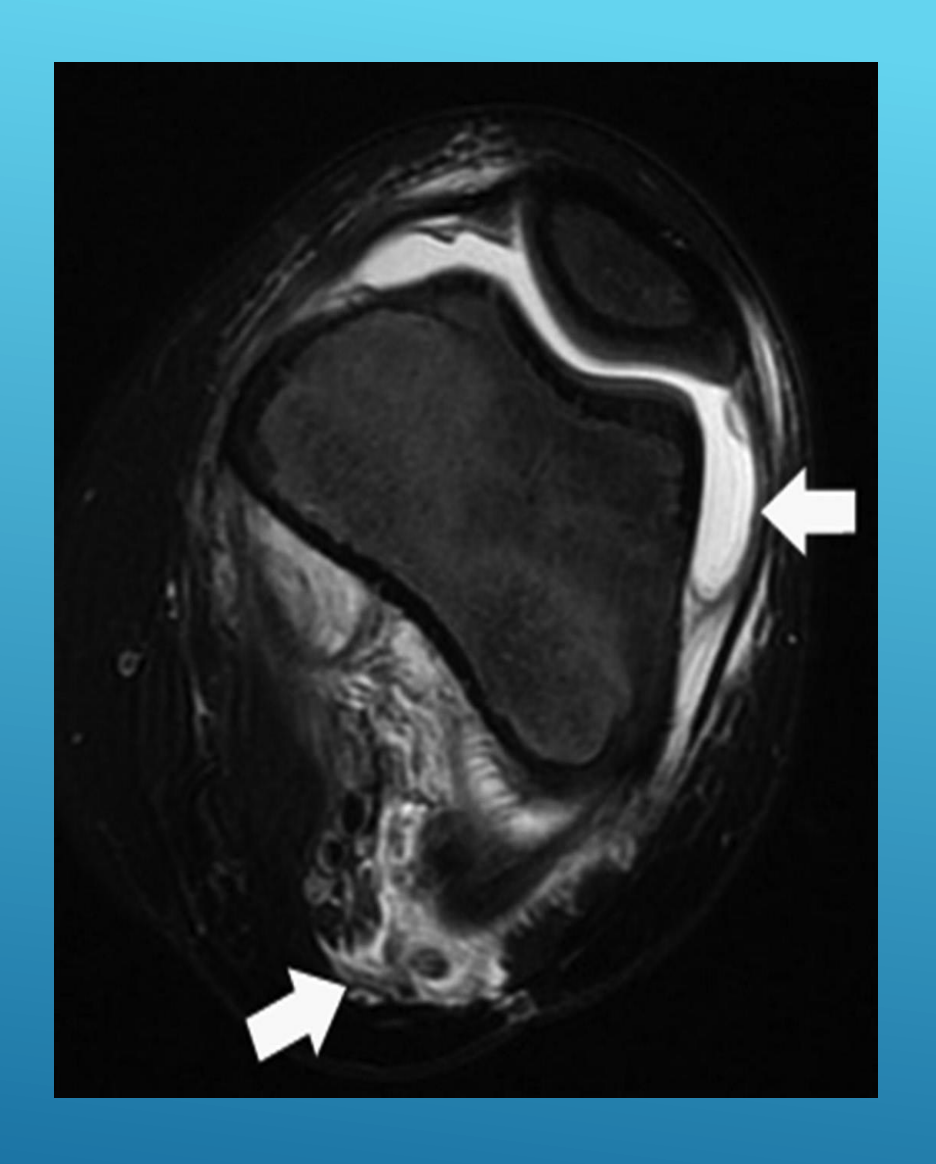


Figura 2 Algoritmo de manejo inicial en UPED ante cojera aguda no traumática.



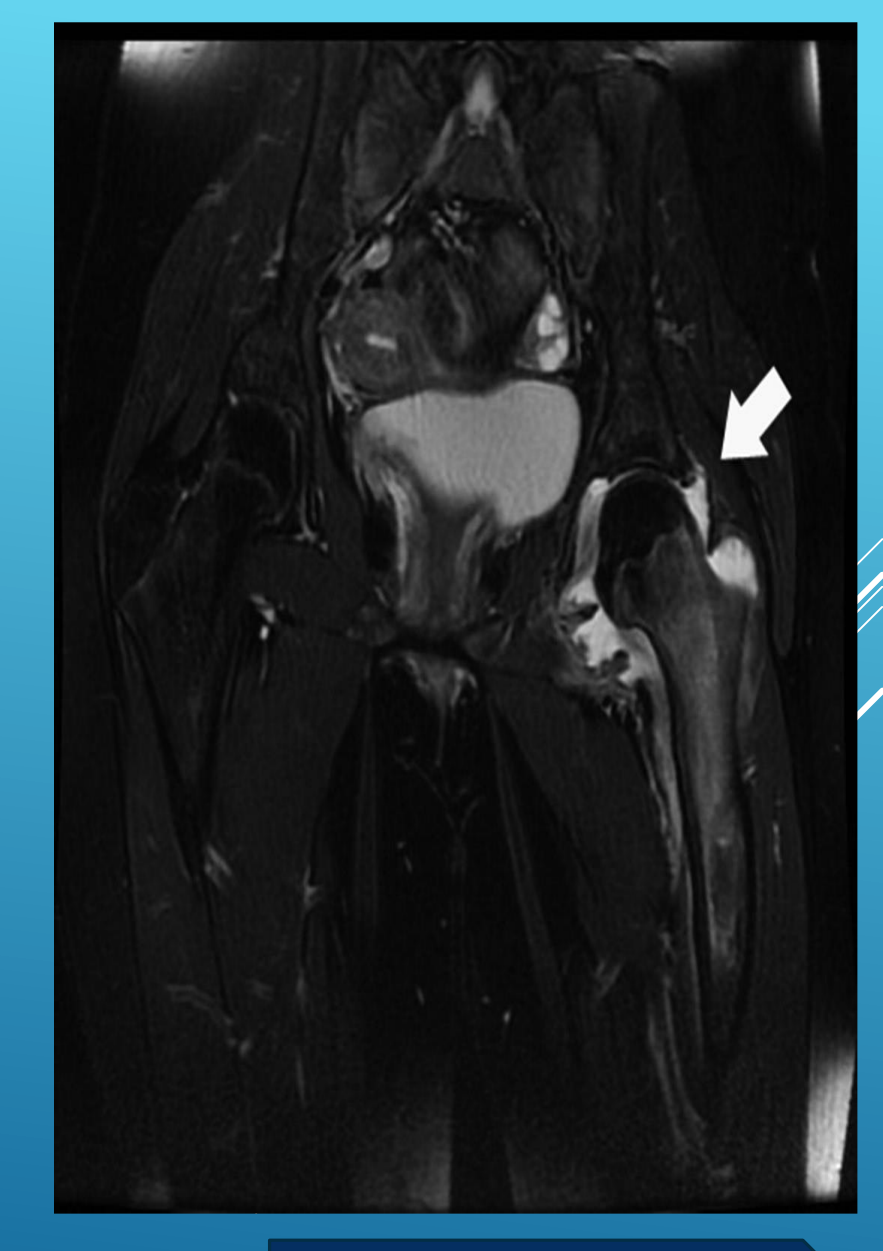


Artritis rodilla y piomiositis





J Child Orthop 2018;12:398-405



AlJ sinovitis y efusión

# SINOVITIS TRANSITORIA DE CADERAS







Figure 1. Anteroposterior pelvis radiograph taken on presentation to the emergency department. The hips are well located, without radiographic evidence of trauma, effusion, or osteomyelitis.

Ryan D

PEDIATRIC ANNALS • Vol. 45, No. 6, 2016

# (J Pediatr Orthop 2013;33:124-127 Liberman

TABLE 1. Demographic Characteristics and Presenting Symptoms			
	Not Aspirated Transient Synovitis (N = 112)	Aspirated Transient Synovitis (N = 119)	P
Sex			
Male	82 (73.2%)	97 (81.2%)	
Female	30 (26.8%)	22 (18.5%)	0.131
Age (y)	4.5  (SD = 2.4;  range, 1-13)	6 (SD = 2.2; range, 2-13)	0.001
Side			
Left	69 (61.6%)	63 (52.9%)	
Right	43 (38.4%)	56 (47.1%)	0.183
Fever (°C)	37.5 (SD = 0.8; range, 36-39)	37.3  (SD = 0.6;  range, 36-39)	0.068
Erythrocytes sedimentation rate	19.4 (SD = 14; range, 2-80)	23.8 (SD = 17; range, 0-100)	0.043
Blood WBC (k/L)	11.2 (SD = 3.3; range, 5-25)	10.8 (SD = 2.7; range, 4.8-20)	0.650
Pain on admission (VAS)	2.3 (SD = 2.2; range, 0-10)	2.4 (SD = 2.2; range, 1-10)	0.9
Physical examination			
Limited IR	100 (89.3%)	117 (98.3%)	0.007
Limited ER	48 (42.8%)	80 (67.2%)	0.001
Limited Add	61 (54.4%)	89 (74.7%)	0.001
Limited Abd	34 (30.3%)	66 (55.4%)	0.001
Refusal to bear weight	28 (25.0%)	72 (60.5%)	0.001

TABLE 2. Clinical Outcome Parameters of	Patients With Transient Synovitis		
	Not Aspirated Transient Synovitis (Group 1, N = 112)	Aspirated Transient Synovitis (Group 2, N = 119)	P
Limping 24h after admission Refusal to bear weight 24h after admission Admission duration Illness duration	103 (92%) 16 (14.3%) 3.9 (SD = 2.26; range, 1-18) 5.9 (SD = 3.3; range, 2-20)	12 (10%) 1 (0.8%) 2.5 (SD = 0.88; range, 1-7) 3.77 (SD = 2.2; range, 2-13)	0.001 0.001 0.001 0.001

Tabla 1 Características de 26 niños con sinovitis transitoria y artritis séptica de cadera

	Sinovitis transitoria N=22	Artritis séptica N=4	Р
Edad en años	6 ± 2 (2, 3–9,8)	4,3±5 (0,9–11,7)	0,17
Varón	17 (77)	1 (25)	0,07
Cojera/Rechazo apoyo	21 (96)	4 (100)	1,00
Cadera derecha	15 (68)	1 (25)	0,26
Historia de fiebre	3 (14)	4 (100)	0,002
Exploración compatible***	22 (100)	4 (100)	
VSG, mm/h	*22 ± 19 (8–55)	**84±11 (70–95)	0,016
PCR, mg/l	*9±8,5 (1–22)	**100 ± 107 (26–259)	0,016
Leucocitos, $\times 10^3/\mu l$	*11 ± 2,9 (9,2–15,9)	**13,7±5 (9–20,6)	0,62
Eco1 cadera afectada, en mm	$9,2\pm2,3$ (5,2–15,2)	$7,6\pm0,9$ (6,9-8,8)	0,09
Eco1 cadera sana, en mm	$4,2\pm1,2$ (2,2-6,3)	$3,4\pm1$ (1,9-4,2)	0,27
Eco2 cadera afectada, en mm	$4.8 \pm 1.31 \ (2-6.9)$	$3,8\pm1,2$ (2,5-5,3)	0,15
Eco2 cadera sana, en mm	4,2±1,1 (2,4–6,6)	3,1±1,1 (1,7-4,6)	0,13
Días entre inicio y Eco1	5 ± 4 (0–15)	7±6 (3-16)	0,56
Días entre Eco1 y Eco2	18 ± 14,6 (3–71)	67±64 (8-124)	0,28

Los valores se expresan en media ± DE (mínimo-máximo) y en n° de casos (%).

Eco1: ecografía al consultar; Eco2: ecografía coincidente con la normalidad clínica.

<sup>\*</sup>Realizada en 5 pacientes.

<sup>\*\*</sup>Realizada en todos los casos.

<sup>\*\*\*</sup>Limitación dolorosa de la movilidad de cadera.

# Seminars in Musculoskeletal Radiology Vol. 17 No. 3/2013 Kara G Gill





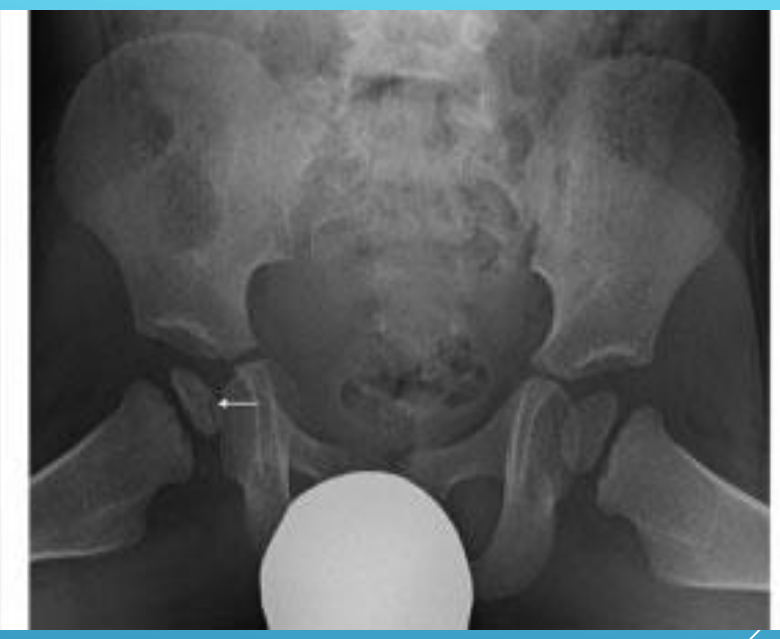


a) Anteroposterior radiograph of the pelvis in an 8-year-old girl demonstrates widening and irregularity of the left proximal femoral physis (thick arrow). The Klein line is intact. (b) The frogleg lateral view demonstrates the posteromedial slip of the left capital femoral epiphysis (thin arrow).

Epifisiolisis femoral proximal izquierda.







Anteroposterior and frog-leg lateral views of the pelvis in a 2-year-old boy with right Legg-Calvé-Perthes disease evidenced by a sclerotic right femoral head with decreased height (thick arrow). A subchondral fracture line is also noted (thin arrow).

Seminars in Musculoskeletal Radiology Vol. 17 No. 3/2013 Kara G Gill



Enfermedad de Perthes en cadera derecha.



Figure 4. Anteroposterior radiograph of the pelvis of a 4-year-old bo who was intermittently limping for 3 months. The right hip has sever flattening of the femoral epiphysis with sclerosis consistent with advanced Legg-Calvé-Perthes disease.

J Alonso H. Pediatr Integral 2014; XVIII (7): 456-467



Enfermedad de Köhler

Herman M Ped in Review 2015



igure 6. Anteroposterior radiograph of the knee in a 12-year-old boy with occasional medial knee pain and snapping. The image reveals edunculated osteochondroma of the proximal tibia medially that was xcised in the operating room.



igure 7A. Lateral radiograph of the tibia and fibula for 12-year-old boy with chief complaints of a limp and pain at night for the past 3 months in is left lower extremity. The image demonstrates a cortical thickening in he fibula (arrow).

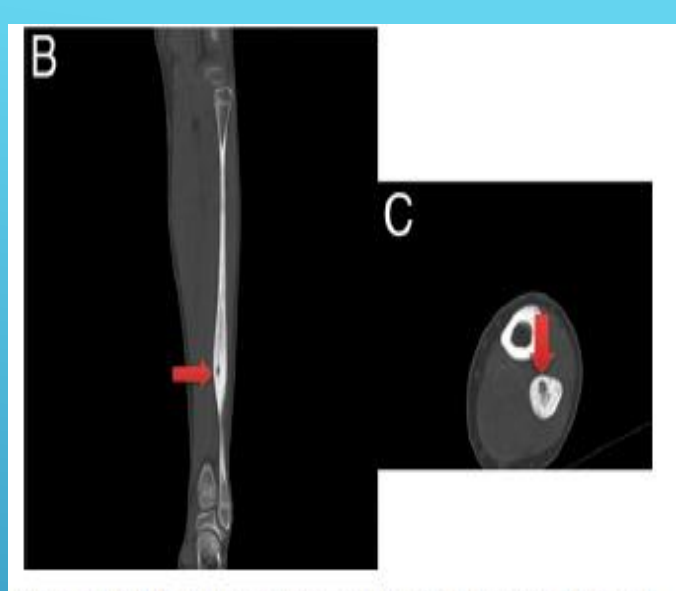
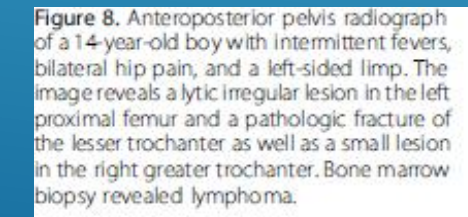


Figure 7B and C. Computed tomography scan with coronal and axial cuts show the nidus and surrounding sclerosis consistent with an osteoid osteoma.







Turnbull J, et al. Arch Dis Child Educ Pract Ed 2017;0:1–7. doi:10.1136/archdischild-2016-311477

Table 1 Differential diagnosis of leg pains in childhood and adolescence		
Younger child	Developmental hip dysplasia Perthes' disease Recurrent nocturnal limb or 'growing' pains Trauma—accidental and non-accidental Septic arthritis or osteomyelitis Inflammatory arthritis Tumour or leukaemic infiltration	
Older child	Soft tissue injury Osgood-Schlatter disease Patellofemoral syndrome Slipped upper femoral epiphysis Other hip or spinal pathology Hypermobility Enthesitis Inflammatory arthritis Septic arthritis or osteomyelitis Tumour or leukaemic infiltration Chronic regional pain syndromes	

# Cojera en pediatría

#### Diagnóstico diferencial

#### 1. Traumatismos

- Contusión ósea o muscular
- · Fracturas, subluxaciones, esguinces
- Síndromes por exceso de uso: tendinitis
- Inyecciones intramusculares
- Malos tratos

#### 2. Infecciones

- · Osteomielitis, artritis séptica, celulitis
- Miositis aguda
- Sacroileítis, discitis
- · Enfermedad de Lyme
- · Infección retroperitoneal o pélvica

#### 3. Tóxicos

- · Hipervitaminosis A
- Acrodinia

#### 4. Inflamatorias/inmunológicas

- · Sinovitis transitoria de cadera
- Artritis postinfecciosa: artritis reactiva, fiebre reumática
- Vasculitis: Schönlein-Henoch, enfermedad del suero
- Artritis crónica juvenil
- Lupus eritematoso sistémico
- Dermatomiositis, polimiositis
- · Enfermedad inflamatoria intestinal
- Enfermedad de Kawasaki

#### 5. Endocrino-metabólicas

- · Anemia de células falciformes
- Raquitismo por déficit de vitamina D
- Osteodistrofia renal

- Hipotiroidismo
- Hiperlipidemias

#### 6. Tumores

- · Leucemia, linfoma
- Tumores óseos malignos: sarcoma osteogénico, Ewing
- Tumores óseos benignos: osteoma osteoide, osteoblastoma

#### 7. Ortopédicas locales

- Legg-Calvé-Perthes (cabeza femoral)
- Likfert y Arkin (núcleo distal de tibia)
- Mandl (trocánter mayor)
- Osgood-Schlatter (tuberosidad tibial)
- Pierson (sínfisis púbica)
- Sever (epífisis calcánea)
- Van Neck (sincondrosis isquiopubiana)
- Osteocondritis disecante (cóndilo femoral)
- Condromalacia rotuliana

#### 8. Etiología múltiple

- "Dolores de crecimiento"
- Distrofia neuromuscular refleja
- Luxación congénita de cadera
- Anisomelia (asimetría de extremidades inferiores)
- · Epifisiolisis de cabeza femoral
- Necrosis avascular (osteocondrosis):
  - Blount (metáfisis tibial)
  - -Caffey (espinas intercondíleas)
  - Díaz (astrágalo)
  - -Freiberg (II metatarsiano)
  - -Iselin (V metatarsiano)
  - -Koehler (escafoides tarsiano)

